

УДК 539.3

РЕШЕНИЕ ЗАДАЧ ИЗГИБА НЕОДНОРОДНЫХ ПЛАСТИН
МЕТОДОМ ВИРТУАЛЬНЫХ РАБОТ

МАТВЕЕВ А. Д., НЕМИРОВСКИЙ Ю. В.

Методы конечных разностей и конечных элементов являются основными методами расчета изгиба пластин. Однако реализация этих методов на ЭВМ имеет определенные трудности [1, 2], связанные с одновременной обработкой большого объема числовой информации вследствие решения систем алгебраических уравнений высокого порядка и приводит к большим погрешностям вычислений [1]. Возникающая в связи с этим необходимость ограничения порядка систем уравнений служит препятствием для получения решения исходной задачи с требуемой точностью. Метод Ритца в энергетических пространствах [3] для решения задач изгиба неоднородных пластин в общем случае не рассматривается. В [4] представлены лишь некоторые частные результаты для прямоугольной пластины без отверстий. При этом важный вопрос о выборе системы координатных функций для построения полной по энергии системы функций не обсуждается.

Для всякой закрепленной пластины всегда можно определить некоторый линеал L ее линейно-упругих решений (прогибов). Тогда, при построении метода расчета изгиба такой пластины для нагружений, порождающих линеал L , можно использовать основные принципы теории упругости.

В публикуемой работе предложен метод решения задачи изгиба неоднородной пластины Кирхгофа произвольной формы для любого линеала L ее линейно-упругих решений. В основе метода лежит принцип виртуальной работы. Предложен один из критерии выбора соответствующих координатных функций.

1. Определим нормированное пространство L_e как линеал L с соответствующим скалярным произведением $(\cdot, \cdot)_e$ и нормой $\|\cdot\| = \sqrt{(\cdot, \cdot)_e}$. Тогда решение $w_0 \in L_e$ изгибаемой пластины согласно предлагаемому методу имеет вид

$$w_0 = \frac{1}{2} \sum_{n=1}^{\infty} F(\varphi_n) \varphi_n \quad (1.1)$$

где $F(\varphi_n)$ — работа внешних сил пластины на перемещениях $\varphi_n \in \{\varphi_n\}$, $\{\varphi_n\}$ — ортонормированный базис L_e . Отметим, что структура решения (1.1) аналогична структуре решения таких задач по методу Ритца [1] или Бубнова — Галеркина [1], но процедура вычисления решения в форме (1.1) принципиально отличается от соответствующих процедур методов Ритца и Бубнова — Галеркина.

Функции $\varphi_n \in \{\varphi_n\}$ определяются при помощи процесса ортонормирования [5] некоторой системы $\{f_i\}$ координатных функций по формулам

$$e_1 = f_1 \quad (1.2)$$

$$e_h = f_h - \sum_{i=1}^{h-1} \lambda_{hi} e_i$$

$$\lambda_{hi} = (f_h, e_i)_e / (e_i, e_i)_e, \quad (h=2, 3, \dots), \quad \varphi_n = e_n / \|e_n\|_e$$

где $(\cdot, \cdot)_e$ — энергетическое скалярное произведение для элементов L_e .

Вычислительная процедура по формулам (1.2) сводится к последовательному вычислению коэффициентов λ_{hi} и не требует одновременной об-

работки большого объема числовой информации, как в методе конечных элементов и методе конечных разностей, что дает возможность применять ЭВМ с малым объемом памяти.

Легко прослеживается скорость сходимости метода, так как при построении решения w_{n+1} используются результаты вычислений решения w_n и на этой основе определяется функция φ_{n+1} при известной системе ортогональных по энергии функций e_1, \dots, e_{n-1} и определяется значение работы $F(\varphi_{n+1})$. В методе конечных элементов и методе конечных разностей для выявления скорости сходимости требуется осуществить новое разбиение или строить новую узловую сетку и заново повторять всю процедуру поиска решения.

Решение задачи для нового нагружения в предлагаемом методе сводится к замене функций нагружения пластины в интегралах $F(\varphi_n)$ и вычислению этих интегралов по соответствующим областям интегрирования. Метод обеспечивает получение гладкого решения на всей области пластины, тогда как в методе конечных элементов получаем кусочно-гладкое решение, в разностном методе — табличное. Рассматриваемый метод особенно эффективен при решении задач изгиба прямоугольных и круглых слоистых неоднородных пластин с произвольными вырезами.

2. Рассмотрим задачу изгиба изотропной неоднородной пластины Кирхгофа, средняя плоскость S^0 которой занимает произвольную область в плоскости xy декартовой системы координат xyz .

Условия закрепления пластины общего вида

$$w = \partial w / \partial n = 0 \text{ на } \Gamma_1, \quad w = 0 \text{ на } \Gamma_2 \quad (2.1)$$

где w — прогиб пластины, $\Gamma = \Gamma_1 + \Gamma_2 + \Gamma_3$ — кусочно-гладкая граница области S , границы $\Gamma_1, \Gamma_2, \Gamma_3$ не пересекаются, n — нормаль к Γ_1, Γ_3 — не закреплена (пластина не имеет точечных опор).

Определим линеал L_e как множество возможных перемещений данной пластины, т. е. $L_e = \{w : \text{на } \Gamma_1 : w = \partial w / \partial n = 0, \text{ на } \Gamma_2 : w = 0 \text{ для всех } w \in C^4(S)\}$. Пусть $\{\varphi_n\} \subset L_e$ — базис, ортонормированный по энергии, т. е. в метрике $\|\cdot\| = \overline{V}(\cdot)_e$, где $(\cdot)_e$ — скалярное произведение для элементов L_e , которое представим в виде

$$(w, v)_e = \sum_{k=1}^4 \int_S (A_k w) (A_k v) dS \quad (2.2)$$

$$A_1 w = \sqrt{\frac{D(1-v)}{2}} \frac{\partial^2 w}{\partial x^2}, \quad A_2 w = \sqrt{\frac{D(1-v)}{2}} \frac{\partial^2 w}{\partial y^2}$$

$$A_3 w = \sqrt{D(1-v)} \frac{\partial^2 w}{\partial x \partial y}, \quad A_4 w = \sqrt{\frac{Dv}{2}} \left(\frac{\partial^2 w}{\partial x^2} + \frac{\partial^2 w}{\partial y^2} \right)$$

где A_k — линейные операторы, заданные на L_e , D — изгибная жесткость, v — коэффициент Пуассона, D, v — кусочно-гладкие на S^0 функции. Отметим, что $(w, w)_e$ — потенциальная энергия деформаций пластины для прогиба $w \in L_e$, тогда в соответствии с [6] $\forall w \in L_e : (w, w)_e \geq 0$ и $(w, w)_e = 0$ только при $w = 0$. Итак

$$\forall w_0 \in L_e : w_0 = \sum_{k=1}^{\infty} (w_0, \varphi_k)_e \varphi_k \quad (2.3)$$

Согласно принципу виртуальных работ, имеем равенство

$$\nabla \varphi_h \in \{\varphi_h\} : F(\varphi_h) = \int_S \int_{-h}^{h} (\sigma_x \circ \varepsilon_x + \dots + \tau_{xy} \circ \gamma_{xy}) dS dz \quad (2.4)$$

где $F(\varphi_h)$ — работа внешних сил пластины, которым отвечает прогиб $w_0 \in L_e$ на виртуальном перемещении φ_h ; деформации $\varepsilon_x, \varepsilon_y, \gamma_{xy}$ порождены

прогибом φ_h , а поле напряжений $\sigma_x^\circ, \sigma_y^\circ, \tau_{xy}^\circ$ отвечает прогибу w_0 ; $h = h(x, y)$ — толщина пластины.

Используя (2.2), получаем

$$\forall \varphi_h \in \{\varphi_h\} : 2(w_0, \varphi_h)_e = \int \int_{S \subseteq S_0}^{h} (\sigma_x^\circ \varepsilon_x + \dots + \tau_{xy}^\circ \gamma_{xy}) dS dz \quad (2.5)$$

Из сравнения (2.4) с (2.5) имеем

$$\forall \varphi_h \in \{\varphi_h\} : (w_0, \varphi_h)_e = \frac{1}{2} F(\varphi_h). \quad (2.6)$$

Подставляя (2.6) в (2.3) получим

$$w_0 = \frac{1}{2} \sum_{h=1}^{\infty} F(\varphi_h) \varphi_h \quad (2.7)$$

Следует отметить, что коэффициенты $(w_0, \varphi_h)_e$ ряда Фурье (2.3) определяются из условия выполнения принципа виртуальных работ для исключенного равновесного состояния пластины, следовательно, решение в форме (2.7) уже удовлетворяет принципу виртуальных работ.

Итак, решение задачи изгиба пластины по методу виртуальных работ сводится к построению базиса L_e .

3. Рассмотрим вопрос о построении ортонормированного базиса $\{\varphi_h\}$ пространства L_e для произвольной области S^0 , занимаемой пластиной. Покажем, что ортонормированный базис $\{\varphi_h\}$ определяется при выполнении следующих утверждений.

Теорема 1. Пусть $\{u_n^\circ\} \subset C^4(S_0)$ и $\{u_n\} \subset C^4(S)$, где $S \subseteq S_0$, $\{u_n\} = \{\dot{u}_n : u_n(t) = u_n^\circ(t), t \in S$ для всех $u_n^\circ \in \{u_n^\circ\}$. Линейная оболочка системы $\{u_n^\circ\}$ плотна в $C^4(S_0)$ в метрике $C(S_0)$, т. е.

$$\forall u_0 \in C^4(S_0) : \left\| u_0 - \sum_{h=1}^n a_h u_h^\circ \right\|_{C(S_0)} \rightarrow 0, \quad n \rightarrow \infty \quad (3.1)$$

Тогда

$$\forall u \in C^4(S) : \left\| u - \sum_{h=1}^n a_h u_h \right\|_{C(S)} \rightarrow 0, \quad n \rightarrow \infty \quad (3.2)$$

где a_h — число, $\|\cdot\|_{C(S)}$, $\|\cdot\|_{C(S_0)}$ — метрики пространств $C(S)$, $C(S_0)$, $u(t) = u_0(t)$, $t \in S$, $u \in C^4(S)$ т. е. линейная оболочка $\{u_n\}$ плотна в $C^4(S)$ в метрике $C(S)$.

Доказательство. В силу (3.1) имеем

$$\forall u_0 \in C^4(S_0) : \max_{t \in S_0} \left| u_0(t) - \sum_{h=1}^n a_h u_h^\circ(t) \right| \rightarrow 0, \quad n \rightarrow \infty$$

$$\text{Тогда } \forall u \in C^4(S) : \max_{t \in S \subseteq S_0} |u(t) - \sum_{h=1}^n a_h u_h(t)| \rightarrow 0, \quad n \rightarrow \infty,$$

где $u(t) = u_0(t)$, $u_h(t) = u_h^\circ(t)$, $t \in S$, откуда следует (3.2). Теорема доказана.

Теорема 2. Пусть линейная оболочка системы $\{u_n\} \subset C^4(S)$ плотна в $C^4(S)$ метрике $C(S)$:

$$\forall u \in C^4(S) : \left\| u - \sum_{h=1}^n a_h u_h \right\|_{C(S)} \rightarrow 0, \quad n \rightarrow \infty \quad (3.3)$$

Пусть $\psi \in C^4(S)$ удовлетворяет условиям закрепления пластины на границе области S_0° , т. е. условиям (2.1) и на $S + \Gamma_3$: $\psi \neq 0$. Тогда

$$\forall u \in C^4(S) : w = \psi \cdot u : \left\| w - \sum_{k=1}^n a_k f_k \right\|_{C(S)} \rightarrow 0, \quad n \rightarrow \infty \quad (3.4)$$

$$w = u \cdot \psi, \quad u \in C^4(S), \quad f_k = \psi \cdot u_k, \quad u_k \in \{u_k\}, \quad w \in C^4(S)$$

т. е. линейная оболочка системы координатных функций $\{f_k\}$ плотна в L_e в метрике $C(S)$ (функции w, f_k удовлетворяют условиям закрепления пластины).

Доказательство. Представим $w \in L_e$ в виде

$$w = \psi u, \quad (\psi, u \in L_e \subset C^4(S)) \quad (3.5)$$

Учитывая, что $\forall v, \varphi \in C^4(S) : \|v\varphi\|_{C(S)} \leq \|v\|_{C(S)} \|\varphi\|_{C(S)}$ имеем $\|\psi u - \sum_{k=1}^n a_k \psi u_k\|_{C(S)} \leq \|\psi\|_{C(S)} \left\| u - \sum_{k=1}^n a_k u_k \right\|_{C(S)}$. Отсюда в силу (3.3) с учетом обозначений (3.5) выполняется (3.4). Теорема доказана.

Теорема 3. Пусть линейная оболочка системы $\{f_k\}$ координатных функций данной пластины плотна в L_e в метрике $C(S)$, т. е.

$$\forall w \in L_e : \left\| w - \sum_{k=1}^n a_k f_k \right\|_{C(S)} \rightarrow 0 \quad (n \rightarrow \infty) \quad (3.6)$$

Тогда

$$\forall w \in L_e : \left\| w - \sum_{k=1}^n a_k f_k \right\|_e \rightarrow 0 \quad (n \rightarrow \infty) \quad (3.7)$$

т. е. линейная оболочка системы $\{f_k\}$ координатных функций плотна в L_e в метрике $\|\cdot\|_e$ (полна по энергии).

Доказательство. В силу (3.6) имеем $w = w_\infty = \sum a_k f_k (k=1, 2, \dots)$, причем [5] этот ряд равномерно сходится к функции $w \in L_e$ во всей области S , т. е. $\forall t \in S : w(t) = w_\infty(t)$.

Так как $w, w_\infty \in L_e$ и $w - w_\infty = 0$, то [5]: $\|w - w_\infty\|_e = 0$, т. е. $\|w - \sum a_k f_k\|_e = 0, k=1, 2, \dots$, что эквивалентно (3.7). Теорема доказана.

Пусть выполняется условие (3.6) для системы $\{f_n\}$ координатных функций данной пластины. В общем случае $f_n \in \{f_n\}$ — линейно зависимые функции на S . Выбираем из $\{f_n\}$ систему линейно независимых функций и, ортонормируя ее в L_e , получим систему $\{\varphi_n\}$. Поскольку линейные оболочки систем $\{f_n\}$ и $\{\varphi_n\}$ совпадают [5], а в силу теоремы 3 линейная оболочка системы $\{f_n\}$ плотна в L_e по энергии, т. е. в метрике $\|\cdot\|_e$, то и линейная оболочка системы $\{\varphi_n\}$ плотна в L_e по энергии, т. е. $\{\varphi_n\}$ — ортонормированный базис L_e .

Итак, условие (3.6) является критерием выбора системы координатных функций для построения ортонормированного базиса $\{\varphi_n\}$.

Согласно теоремам 1–3, для построения ортонормированного базиса L_e достаточно на некоторой области $S_0 \supseteq S$ определить систему функций $\{u_n^\circ\} \subset C^4(S_0)$, удовлетворяющих условию (3.1) и функцию $\psi \in L_e$, удовлетворяющую условию $\psi \neq 0$ на $S + \Gamma_3$.

Как известно [7] для прямоугольной области S_0° , включающей область S , в качестве такой системы функций $\{u_n^\circ\} \subset C^4(S_0)$ можно использовать систему функций двойного тригонометрического ряда Фурье. Таким образом, возможность построения базиса L_e определяется возможностью построения для данной области $S \equiv S_0$ функции ψ . В качестве функции ψ можно взять любое частное решение данной задачи, не равное нулю на $S + \Gamma_3$. Такое частное решение для ряда пластин сложной формы определяется просто, например, для прямоугольной (круглой) пластины свободно

опертой (зашемленной) по сторонам с произвольными вырезами, граници которых не закреплены. Следовательно, для решения задачи изгиба таких прямоугольных пластин переменной толщины с произвольными вырезами при произвольном нагружении следует использовать метод виртуальных работ, который, как отмечалось ранее, эффективнее методов конечных элементов и конечных разностей.

Следует отметить, что вместо системы функций двойного тригонометрического ряда Фурье можно использовать другие системы функций, линейная оболочка которых плотна в $C^4(S_0)$ в метрике $C(S_0)$, однако не для всякой такой системы процесс ортогонализации является численно устойчивым. Например, для полиномов Лежандра этот процесс численно неустойчив [5]. Это обстоятельство следует иметь в виду при решении вопроса о том, какую из возможных систем функций, плотных в $C^4(S_0)$ в метрике $C(S_0)$, использовать для решения конкретных задач предлагаемым методом.

4. Рассмотрим сходимость в метрике $\|\cdot\|_e$. Пусть $w_0 \in L_e$ — точное решение, система $\{\varphi_n\}$ полна по энергии, т. е.

$$\|w_n - w_0\| \rightarrow 0 \quad (n \rightarrow \infty), \quad w_n \in L_e, \quad w_n = \sum_{k=1}^n a_k \varphi_k \quad (4.1)$$

Тогда можно показать, что

$$\begin{aligned} \|M_x^n - M_x^0\|_{L_2(S, \delta_1)} &\rightarrow 0, \quad \|M_y^n - M_y^0\|_{L_2(S, \delta_1)} \rightarrow 0, \\ \|M_{xy}^n - M_{xy}^0\|_{L_2(S, \delta_2)} &\rightarrow 0 \quad \text{при } n \rightarrow \infty \end{aligned} \quad (4.2)$$

где M_x^n, M_y^n, M_{xy}^n — изгибающие и крутящие моменты пластины, отвечающие соответственно прогибам w_n, w_0 ; $\|\cdot\|_{L_2(S, \delta_1)}, \|\cdot\|_{L_2(S, \delta_2)}$ нормы вещественных пространств $L_2(S, \delta_1), L_2(S, \delta_2)$ [3], для которых $\delta_1 = (1-v)/D$, $\delta_2 = [D(1-v)]^{-1}$. Действительно, подставляя $A_k w$ в (2.2) и учитывая, что $A_k L \subset L_2(S)$ ($k' = 1, \dots, 4$), так как $L_e \subset C^4(S)$ получим

$$\forall w \in L_e: \|w\|_e^2 = \sum_{k=1}^4 \|A_k w\|_{L_2(S)}^2 \quad (4.3)$$

Откуда в силу (4.1) имеем

$$\|A_k(w_n - w_0)\|_{L_2(S)} \rightarrow 0 \quad (n \rightarrow \infty) \quad (4.4)$$

При помощи неравенства Коши — Буняковского имеем

$$\|\nu A_k(w_n - w_0)\|_{L_2(S)}^2 \leq \|v^2 A_k(w_n - w_0)\|_{L_2(S)} \|A_k(w_n - w_0)\|_{L_2(S)}$$

Отсюда в силу (4.4), учитывая, что

$$\begin{aligned} \lim_{n \rightarrow \infty} \|v^2 A_k(w_n - w_0)\|_{L_2(S)} &< \infty \quad (k=1, 2), \quad \text{получим} \\ \|v A_k(w_n - w_0)\|_{L_2(S)} &\rightarrow 0 \quad (n \rightarrow \infty), \quad (k=1, 2) \end{aligned} \quad (4.5)$$

Используя неравенство треугольника для норм и выражения для $A_k w$ будем иметь

$$\begin{aligned} &\|A_1(w_n - w_0)\|_{L_2(S)} + \|v A_2(w_n - w_0)\|_{L_2(S)} \geq \\ &\geq \left\| \sqrt{\frac{D(1-v)}{2}} \left[\left(\frac{\partial^2 w_n}{\partial x^2} + v \frac{\partial^2 w_n}{\partial y^2} \right) - \left(\frac{\partial^2 w_0}{\partial x^2} + v \frac{\partial^2 w_0}{\partial y^2} \right) \right] \right\|_{L_2(S)} \end{aligned}$$

Отсюда в силу (4.4), (4.5) следует

$$\|\sqrt{(1-v)/D}(M_x^n - M_x^0)\|_{L_2(S)} \rightarrow 0 \quad (n \rightarrow \infty) \quad (4.6)$$

Из неравенства $\|A_2(w_n - w_0)\|_{L_2(S)} + \|v A_1(w_n - w_0)\|_{L_2(S)} \geq \|A_2(w_n - w_0) + v A_1(w_n - w_0)\|_{L_2(S)}$, рассуждая аналогично, получим

$$\|\sqrt{(1-v)/D}(M_y^n - M_y^0)\|_{L_2(S)} \rightarrow 0 \quad (n \rightarrow \infty) \quad (4.7)$$

Таблица 1

	x_1	x_2	x_3	x_4
y_1	0,01277	0,02316	0,03517	0,04692
y_2	0,02426	0,04827	0,07156	0,09454
y_3	0,03567	0,07346	0,10818	0,14214
y_4	0,04818	0,09721	0,1440	0,18905

Таблица 2

	x_1	x_2	x_3	x_4
y_1	0,01278	0,02316	0,03519	0,04694
y_2	0,02425	0,04832	0,0716	0,09458
y_3	0,03567	0,07354	0,1082	0,14220
y_4	0,04820	0,09725	0,14410	0,1891

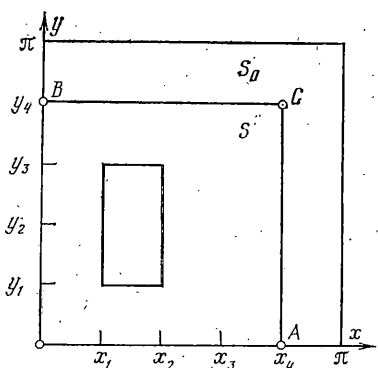
А из условия $\|A_s(w_n - w_0)\|_{L_2(S)} \rightarrow 0$ ($n \rightarrow \infty$) используя (1.3) найдем

$$\|(\sqrt{D(1-v)})^{-1}(M_{xy}^{(n)} - M_{xy}^{\circ})\|_{L_2(S)} \rightarrow 0 \quad (n \rightarrow \infty) \quad (4.8)$$

Так как функции $[(1-v)/D]^{1/2}$, $[D(1-v)]^{-1/2}$ неизменны для всех элементов L_2 и $D > 0$, $0 < v < 0,5$ на S , то соотношения (4.6) – (4.8) в пространствах $L_2(S, \delta_1)$, $L_2(S, \delta_2)$ примут вид (4.2). Если функции D , v постоянны на S , то $\|M_x^n - M_x^{\circ}\|_{L_2(S)} \rightarrow 0$, $\|M_y^n - M_y^{\circ}\|_{L_2(S)} \rightarrow 0$, $\|M_{xy}^n - M_{xy}^{\circ}\|_{L_2(S)} \rightarrow 0$ при $n \rightarrow \infty$.

Итак, последовательности $\{M_x^n\}$, $\{M_y^n\}$, $\{M_{xy}^n\}$ изгибающих и крутящих моментов, полученные по методу виртуальных работ, сходятся к точным M_x° , M_y° , M_{xy}° в среднеквадратичном, если система $\{\varphi_h\}$ полна по энергии, и $D, v = \text{const}$ на S .

5. В качестве примера рассмотрим изгиб квадратной пластины с прямоугольным вырезом (фигура), свободно опертой по сторонам OA , OB (остальная часть границы не закреплена). Пластина нагружена сосредоточенной силой $P=0,04$ в точке C при $v=0,3$, $D=1$, $x_i=y_i=0,59i$ ($i=1, \dots, 4$). Впишем область, занимаемую данной пластиной, в прямоугольную область $[0, \pi, 0, \pi]$.



Пусть определены ортогональные функции e_1, \dots, e_{k-1} . Тогда $e_k = f_k - \sum \lambda_{ki} e_i$, $\lambda_{ki} = (f_k, e_i)_e$, $(e_i, e_i)_e = 1$, где $(\cdot, \cdot)_e$ – скалярное произведение пространства L_e . Если $(e_k, e_k)_e = 0$, то $e_k = 0$, т. е. $f_k = \sum \lambda_{ki} e_i$.

Учитывая, что функции e_i линейно выражаются через функции f_1, \dots, f_{k-1} (f_i – число), т. е. функция f_k линейно зависит от f_1, \dots, f_{k-1} и поэтому не используется. Тогда e_k ищем в виде $e_k = f_{k+1} - \sum \lambda_{ki} e_i$.

В табл. 1, 2 представлены значения прогибов пластины, подсчитанных по предлагаемому методу, соответственно, при $n_0=17, 18$. В табл. 3 даны значения прогибов, полученных по методу конечных элементов для данной задачи. Пластина представлялась 224 квадратными элементами Клафа [1] и численно решалась система

Таблица 3

	x_1	x_2	x_3	x_4
y_1	0,0129	0,0242	0,0356	0,0482
y_2	0,0231	0,0486	0,0740	0,0975
y_3	0,0354	0,0720	0,1088	0,1446
y_4	0,0473	0,0953	0,1430	0,1898

771 уравнения. Сравнение результатов (табл. 2, 3) показывает достаточную их близость. Однако реализация метода виртуальных работ не требует одновременной обработки большого объема числовой информации и большого объема памяти ЭВМ, как это требуется в методе конечных элементов.

Сравнение результатов решения данным методом задачи об изгибе свободно опертой на всем контуре квадратной пластины со стороной π под действием сосредоточенной силы в центре с точным решением [8] показывает, что при $n_0=18$ их различие в центре пластины составляет не более 0,02% по перемещениям.

ЛИТЕРАТУРА

1. Постнов В. А. Численные методы расчета судовых конструкций. Л.: Судостроение, 1977. 279 с.
2. Зенкевич О. К. Метод конечных элементов в технике. М.: Мир, 1975. 544 с.
3. Михлин С. Г. Вариационные методы в математической физике. М.: Наука, 1970. 512 с.
4. Литвинов В. Г. Задачи изгиба пластин переменной толщины. — Прикл. механика, 1975, т. 11, вып. 5, с. 54—61.
5. Треногин В. А. Функциональный анализ. М.: Наука, 1980. 495 с.
6. Ломакин В. А. Теория упругости неоднородных тел. М.: Изд-во МГУ, 367 с.
7. Фихтенгольц Г. М. Курс дифференциального и интегрального исчисления. Т. 3. М.: Физматгиз, 1960. 655 с.
8. Тимошенко С. П., Войновский-Кригер С. Пластиинки и оболочки. М.: Физматгиз, 1963. 635 с.

Красноярск, Новосибирск

Поступила в редакцию
21.XI.1983